

Homework 12

Question 1.

$\nabla f(x) = 2\mathbf{D}^\top(\mathbf{D}\mathbf{x} - \mathbf{y})$, 限制条件为 $\|\cdot\|_1$ 时,

$$\mathbf{s}_k = \arg \min_{\mathbf{s} \in \mathbf{D}} \langle \mathbf{s}, \mathbf{g} \rangle = -\text{sign}(g_i) \mathbf{e}_i, i = \arg \max_j |g_j|.$$

限制条件为 $\|\cdot\|_\infty$ 时,

$$\mathbf{s}_k = \arg \min_{\mathbf{s} \in \mathbf{D}} \langle \mathbf{s}, \mathbf{g} \rangle = -\text{sign}(\mathbf{g}).$$

设向量 $\mathbf{v} \in \mathbb{R}^n$, 投影到 ℓ_1 范数球上的问题是

$$\min_{\mathbf{x}} \|\mathbf{x} - \mathbf{v}\|_2^2 \quad \text{s.t.} \quad \|\mathbf{x}\|_1 \leq \tau$$

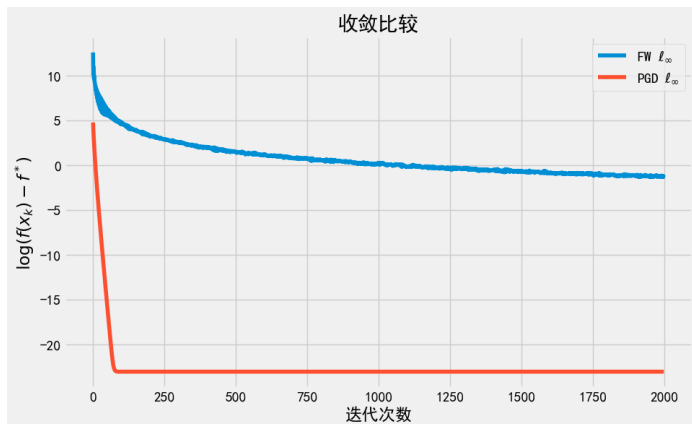
这个问题的解是

$$x_i = \text{sign}(v_i) \cdot \max(|v_i| - \theta, 0)$$

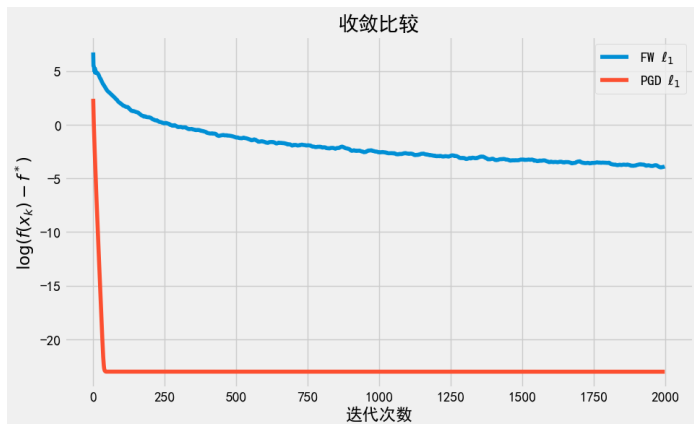
θ 通过以下步骤计算:

- 1) 令 $u = \text{sort}(|\mathbf{v}|)$, 按降序排列。
- 2) 计算累计和 $S_k = \sum_{j=1}^k u_j$ 。
- 3) 找到最大的 ρ 满足 $u_\rho > \frac{1}{\rho} (S_\rho - \tau)$
- 4) $\theta = \frac{1}{\rho} (S_\rho - \tau)$

投影梯度法选择固定步长 $\alpha = 0.0001$, f^* 通过运行 5000 次两个方法比较较小值获得, 实验中分别迭代两种方法 2000 次, 实验结果如图1, 能够看出投影梯度法无论是收敛速度还是稳定性上都更占据优势。



(A) ℓ_∞ 范数



(B) ℓ_1 范数

图 1. 收敛速度对比

Question 2.

$$\min_{\mathbf{x}, \mathbf{y}} f(\mathbf{x}) + g(\mathbf{y}) \quad \text{s.t.} \quad \mathbf{x} = \mathbf{y}$$

其中:

$$f(\mathbf{x}) = \|\mathbf{x} - \mathbf{a}\|_2, \quad g(\mathbf{y}) = \|\mathbf{y} - \mathbf{b}\|_1, \quad \mathbf{a} \neq \mathbf{b} \in \mathbb{R}^{100}$$

Dual Ascent 方法推导. 拉格朗日函数为:

$$\mathcal{L}(\mathbf{x}, \mathbf{y}, \boldsymbol{\lambda}) = f(\mathbf{x}) + g(\mathbf{y}) + \boldsymbol{\lambda}^\top (\mathbf{x} - \mathbf{y})$$

对偶函数为:

$$d(\boldsymbol{\lambda}) = \inf_{\mathbf{x}} (f(\mathbf{x}) + \boldsymbol{\lambda}^\top \mathbf{x}) + \inf_{\mathbf{y}} (g(\mathbf{y}) - \boldsymbol{\lambda}^\top \mathbf{y})$$

Dual Ascent 迭代更新如下:

$$\begin{aligned} \mathbf{x}^k &= \arg \min_{\mathbf{x}} f(\mathbf{x}) + \boldsymbol{\lambda}^k{}^\top \mathbf{x} \\ \mathbf{y}^k &= \arg \min_{\mathbf{y}} g(\mathbf{y}) - \boldsymbol{\lambda}^k{}^\top \mathbf{y} \\ \boldsymbol{\lambda}^{k+1} &= \boldsymbol{\lambda}^k + \eta(\mathbf{x}^k - \mathbf{y}^k) \end{aligned}$$

可以求出

$$\begin{aligned} \mathbf{x}^{k+1} &= \mathbf{a} - \text{proj}_{\mathcal{B}_2(1)}(\boldsymbol{\lambda}^k) = \mathbf{a} - \boldsymbol{\lambda}^k \cdot \min\left(1, \frac{1}{\|\boldsymbol{\lambda}^k\|_2}\right) \\ \mathbf{y}^{k+1} &= \mathbf{b} - \text{clip}(\boldsymbol{\lambda}^k, -1, 1, -1, 1) \end{aligned}$$

ADMM 方法推导. 增广拉格朗日函数为:

$$\mathcal{L}_\beta(\mathbf{x}, \mathbf{y}, \boldsymbol{\lambda}) = f(\mathbf{x}) + g(\mathbf{y}) + \boldsymbol{\lambda}^\top (\mathbf{x} - \mathbf{y}) + \frac{\beta}{2} \|\mathbf{x} - \mathbf{y}\|_2^2$$

定义

$$\mathbf{u}^k = \frac{1}{\beta} \boldsymbol{\lambda}^k$$

ADMM 的迭代更新步骤如下:

$$\begin{aligned} \mathbf{x}^{k+1} &= \arg \min_{\mathbf{x}} f(\mathbf{x}) + \frac{\tau\beta}{2} \|\mathbf{x} - \mathbf{y}^k + \mathbf{u}^k\|_2^2 \\ \mathbf{y}^{k+1} &= \arg \min_{\mathbf{y}} g(\mathbf{y}) + \frac{\tau\beta}{2} \|\mathbf{x}^{k+1} - \mathbf{y} + \mathbf{u}^k\|_2^2 \\ \mathbf{u}^{k+1} &= \mathbf{u}^k + \mathbf{x}^{k+1} - \mathbf{y}^{k+1} \end{aligned}$$

可以求出

$$\begin{aligned} \mathbf{x}^{k+1} &= \mathbf{a} + \max\left(1 - \frac{1}{\tau\beta\|\mathbf{z} - \mathbf{a}\|_2}, 0\right) (\mathbf{a} - \mathbf{z}), \quad \mathbf{z} = \mathbf{y}^k - \mathbf{u}^k \\ \mathbf{y}^{k+1} &= \text{soft}_{1/(\tau\beta)}(\mathbf{v} - \mathbf{b}) + \mathbf{b}, \quad \mathbf{v} = \mathbf{x}^{k+1} + \mathbf{u}^k \end{aligned}$$

其中

$$\text{soft}_\lambda(z_i) = \text{sign}(z_i) \cdot \max(|z_i| - \lambda, 0).$$

测试时, 取 ADMM 的步长 $\beta \in [1, 10, 100]$, $\tau \in [0.5, 1.0, 1.5]$, 迭代次数均为 600 次。 f^* 通过运行 3000 次 $\beta = 1, \tau = 0.5$ 获得。实验结果如图2, 可以看出 $\tau\beta$ 越小, 收敛越快。

另外, Dual Ascent 方法未能收敛, 可能是因为 $f(x)$ 和 $g(y)$ 的性质不佳, $f(x)$ 非强凸, 而 $g(x)$ 不可导, 导致 Dual Ascent 方法在迭代时可能会出现不收敛。

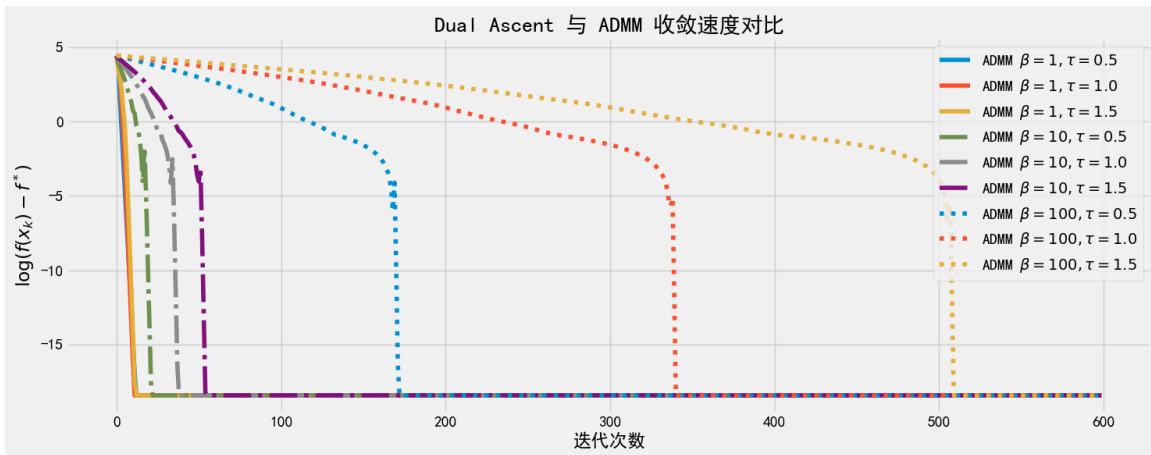


图 2. ADMM 收敛对比

Question 3.

引入拉格朗日乘子 $Y_1 \in \mathbb{R}^{m \times n}$, $Y_2 \in \mathbb{R}^{n \times 1}$, 增广拉格朗日函数为:

$$\begin{aligned} \mathcal{L}(Z, E, Y_1, Y_2) = & \|Z\|_* + \lambda \|E\|_{2,1} + \langle Y_1, D - DZ - E \rangle + \frac{\beta}{2} \|D - DZ - E\|_F^2 \\ & + \langle Y_2, Z^\top \mathbf{1} - \mathbf{1} \rangle + \frac{\beta}{2} \|Z^\top \mathbf{1} - \mathbf{1}\|_2^2 \end{aligned}$$

更新 Z . 我们线性化增广拉格朗日中关于 Z 的二次项, 得到以下更新:

$$Z^{k+1} = \arg \min_Z \|Z\|_* + \frac{\beta_k}{2} \|Z - G^k\|_F^2$$

其中:

$$G^k = Z^k - \frac{1}{\eta_D} \left(D^\top (DZ^k + E^k - D) + \mathbf{1} (Z^{k\top} \mathbf{1} - \mathbf{1})^\top + \frac{1}{\beta_k} D^\top Y_1^k + \frac{1}{\beta_k} \mathbf{1} Y_2^{k\top} \right)$$

该子问题的解为奇异值软阈值:

$$Z^{k+1} = \text{SVT}_{1/\eta_D \beta_k}(G^k)$$

更新 E . 对 E 的更新为:

$$E^{k+1} = \arg \min_E \lambda \|E\|_{2,1} + \frac{\beta_k}{2} \left\| E - \left(D - DZ^{k+1} + \frac{1}{\beta_k} Y_1^k \right) \right\|_F^2$$

这是 $\ell_{2,1}$ 范数的近端问题, 解为对每列进行缩放:

$$E_{:,j}^{k+1} = \left[1 - \frac{1}{\beta_k \|R_{:,j}\|_2} \right]_+ R_{:,j}, \quad R = D - DZ^{k+1} + \frac{1}{\beta_k} Y_1^k$$

更新拉格朗日乘子.

$$\begin{aligned} Y_1^{k+1} &= Y_1^k + \beta_k (D - DZ^{k+1} - E^{k+1}) \\ Y_2^{k+1} &= Y_2^k + \beta_k (Z^{k+1\top} \mathbf{1} - \mathbf{1}) \end{aligned}$$

自适应步长更新. 使用如下策略自适应更新 β_k :

$$\beta_{k+1} = \min(\rho\beta_k, \beta_{\max})$$

$$\rho = \begin{cases} \rho_0, & \text{if } \beta_k \max(\sqrt{\eta_D} \|\mathbf{x}_{k+1} - \mathbf{x}_k\|, \|\mathbf{y}_{k+1} - \mathbf{y}_k\|) / \|\mathbf{c}\| < \varepsilon_2 \\ 1, & \text{otherwise} \end{cases}$$

收敛条件.

$$\frac{\|DZ^k + E^k - D\|}{\|D\|} \leq \epsilon_1, \text{ or } \max\left(\frac{\|D^k - D^{k-1}\|}{\|D\|}, \frac{\|E^k - E^{k-1}\|}{\|D\|}\right) < \epsilon_2$$

数据实验. 参数选取上, $\epsilon_1 = 10^{-6}$, $\epsilon_2 = 10^{-5}$, $\beta_0 = \min(n, m)\epsilon_2 = 200\epsilon_2$, $\beta_{\max} = 10^{10}$, $\rho_0 = 1.9$, $\eta_D = 1.02\sigma_{\max}^2(D)$, $\lambda = 0.1$, 最大迭代次数 5000 次。最终实验结果如图3

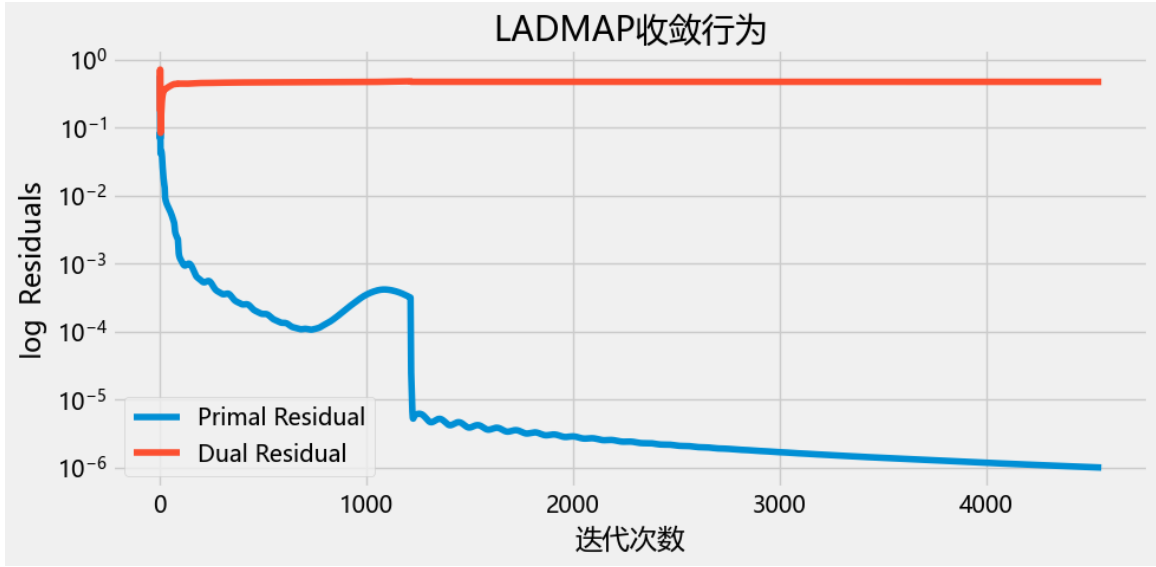


图 3. LADMAP 收敛行为